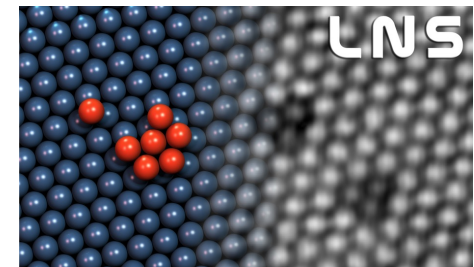


Réseaux cristallins dans l'espace réel et réciproque

1. La nature des liaisons dans un solide
2. Réseaux de Bravais
3. Exemples de structures cristallines simples souvent rencontrées
4. Réseau direct et réseau réciproque
5. Les zones de Brillouin
6. Détermination de la structure cristalline



Structures cristallines simples souvent rencontrées

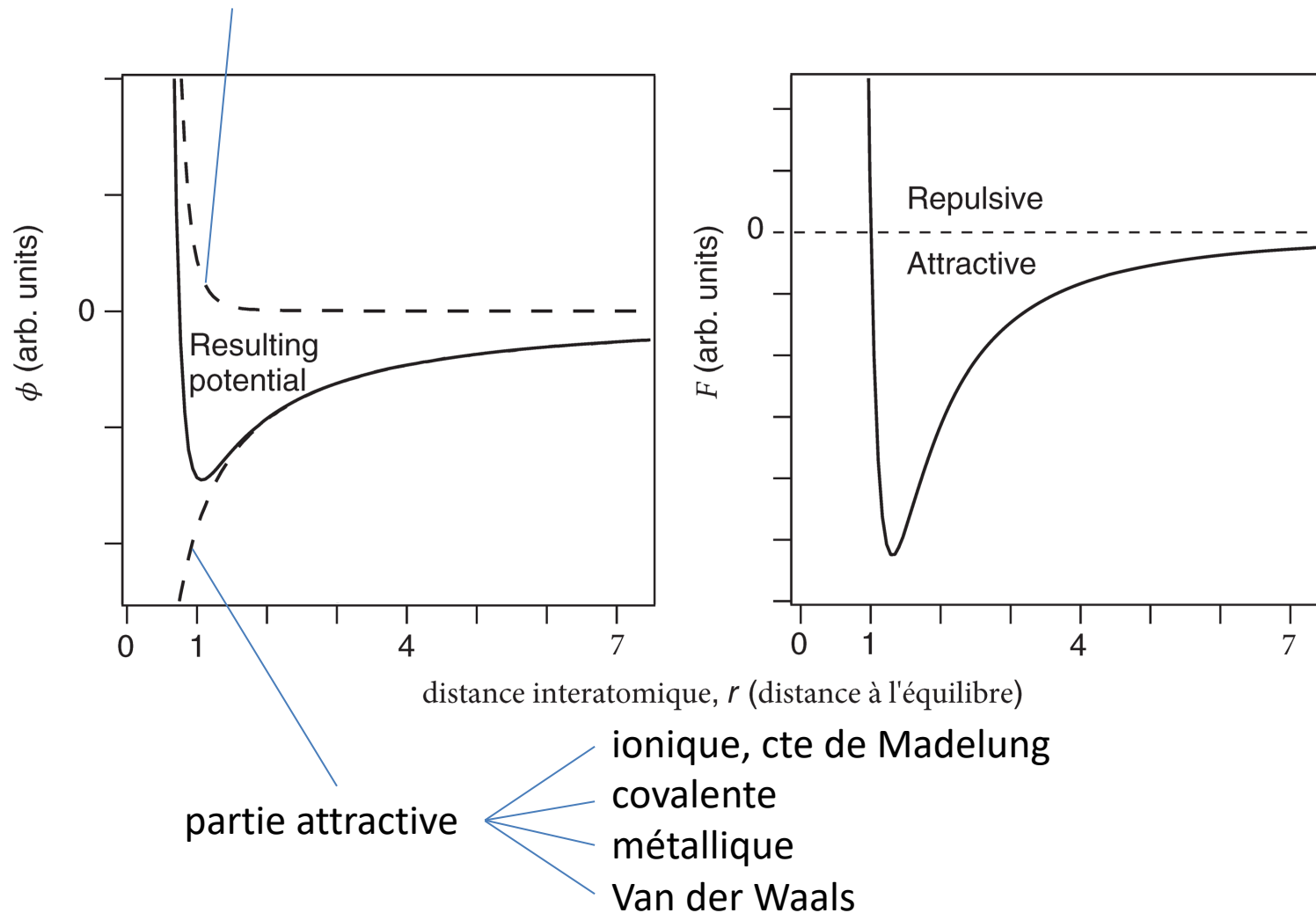
c cubique face centrée (fcc = face centered cubic)

c cubique centrée (bcc = body centered cubic)

hexagonale (hcp = hexagonal closed packed), ici hex diamant (dia)

La nature des liaisons dans un solide

partie répulsive: générale, origin: principe d'exclusion de Pauli



Energies cohésives de cristaux formés d'un seul élément

Table 1 Cohesive energies

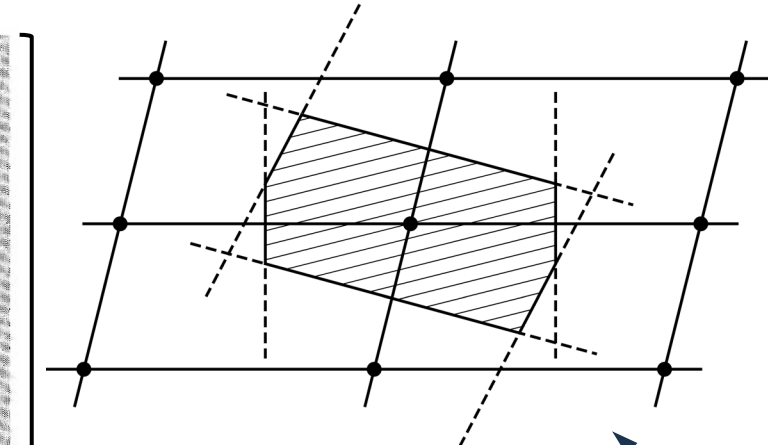
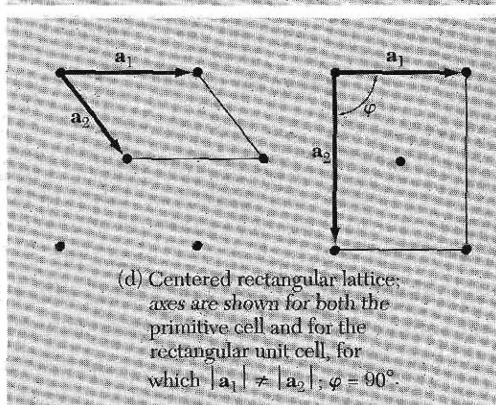
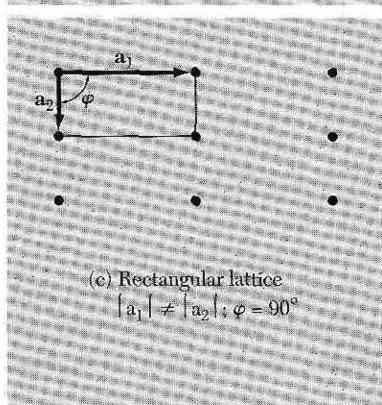
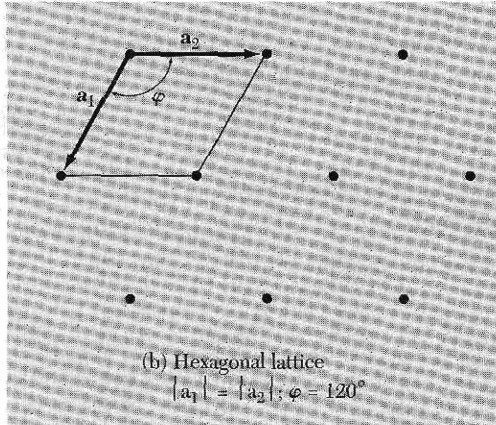
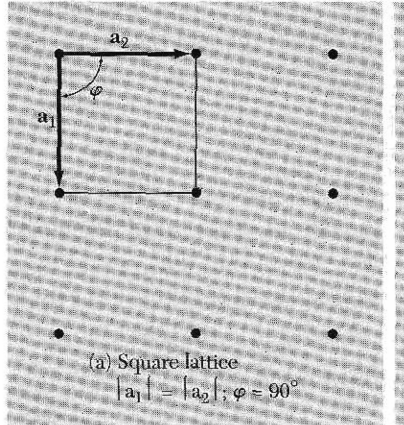
Li	Be	Energy required to form separated neutral atoms in their ground electronic state from the solid at 0 K at 1 atm. The data were supplied by Prof. Leo Brewer in units kcal per mole, revised to May 4, 1977, after LBL report 3720 Rev.												B	C	N	O	F	Ne
158.	320.	561	711.	474.	251	81.0	1.92												
1.63	3.32	5.81	7.37	4.92	2.60	0.84	0.020												
37.7	76.5	134	170.	113.4	60.03	19.37	0.46												
Na	Mg													Al	Si	P	S	Cl	Ar
107	145.	kJ/mol												327.	446.	331	275.	135.	7.74
1.113	1.51	eV/atom												3.39	4.63	3.43	2.85	1.40	0.080
25.67	34.7	kcal/mol												78.1	106.7	79.16	65.75	32.2	1.85
K	Ca	Sc	Ti	V	Cr	Mn	Fe	Co	Ni	Cu	Zn	Ga	Ge	As	Se	Br	Kr		
90.1	178.	376	468.	512.	395	282.	413	424	428	336	130	271	372.	285.3	237	118.	11.2		
0.934	1.84	3.90	4.85	5.31	4.10	2.92	4.28	4.39	4.44	3.49	1.35	2.81	3.85	2.96	2.46	1.22	0.116		
21.54	42.5	89.9	111.8	122.4	94.5	67.4	98.7	101.3	102.4	80.4	31.04	64.8	88.8	68.2	56.7	28.18	2.68		
Rb	Sr	Y	Zr	Nb	Mo	Tc	Ru	Rh	Pd	Ag	Cd	In	Sn	Sb	Te	I	Xe		
82.2	166.	422.	603.	730.	658	661.	650.	554.	376.	284.	112.	243.	303.	265.	211	107.	15.9		
0.852	1.72	4.37	6.25	7.57	6.82	6.85	6.74	5.75	3.89	2.95	1.16	2.52	3.14	2.75	2.19	1.11	0.16		
19.64	39.7	100.8	144.2	174.5	157.2	158.	155.4	132.5	89.8	68.0	26.73	58.1	72.4	63.4	50.34	25.62	3.80		
Cs	Ba	La	Hf	Ta	W	Re	Os	Ir	Pt	Au	Hg	Tl	Pb	Bi	Po	At	Rn		
77.6	183.	431.	621.	782.	859.	775.	788.	670.	564.	368.	65.	182.	196	210.	144.	19.5			
0.804	1.90	4.47	6.44	8.10	8.90	8.03	8.17	6.94	5.84	3.81	0.67	1.88	2.03	2.18	1.50	0.202			
18.54	43.7	103.1	148.4	186.9	205.2	185.2	188.4	160.1	134.7	87.96	15.5	43.4	46.78	50.2	34.5	4.66			
Fr	Ra	Ac	Ce	Pr	Nd	Pm	Sm	Eu	Gd	Tb	Dy	Ho	Er	Tm	Yb	Lu			
			417.	357.	328.		206	179.	400.	391	294.	302	317	233	154.	428.			
			4.32	3.70	3.40		2.14	1.86	4.14	4.05	3.04	3.14	3.29	2.42	1.60	4.43			
			99.7	85.3	78.5		49.3	42.8	95.5	93.4	70.2	72.3	75.8	55.8	37.1	102.2			
			Th	Pa	U	Np	Pu	Am	Cm	Bk	Cf	Es	Fm	Md	No	Lr			
			598.		536.	456	347.	264.	385										
			6.20		5.55	4.73	3.60	2.73	3.99										
			142.9		128.	109.	83.0	63.	92.1										

Réseaux de Bravais

réseau de Bravais: ensemble de points R : $R = n_1 \mathbf{a}_1 + n_2 \mathbf{a}_2 + n_3 \mathbf{a}_3$

\mathbf{a}_i vecteurs primitifs, non-situés dans le même plan, $n_i \in \mathbb{Z}$

cellule primitive, sa translation remplit exactement l'espace, sans recouvrement
cas spécial d'une cellule primitive: Wigner Seitz



en 2D: 5 réseaux de Bravais:
réseau oblique (général)
4 réseaux spéciaux

14 réseaux de Bravais en 3D

les groupes de symétrie de points en 3D demandent 14 réseaux de Bravais:

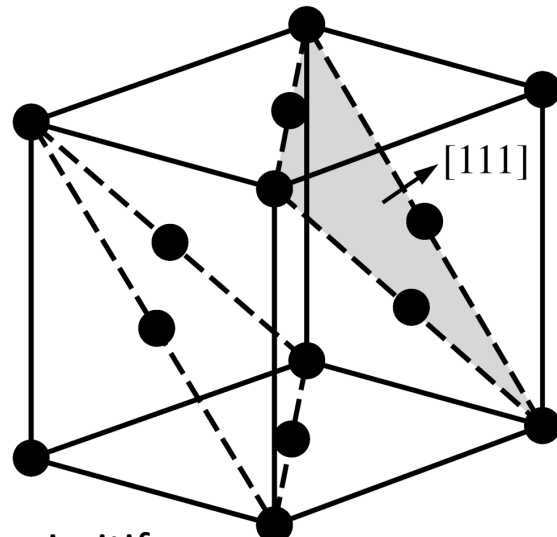
Table I The 14 lattice types in three dimensions

System	Number of lattices	Restrictions on conventional cell axes and angles
Triclinic	1	$a_1 \neq a_2 \neq a_3$ $\alpha \neq \beta \neq \gamma$
Monoclinic	2	$a_1 \neq a_2 \neq a_3$ $\alpha = \gamma = 90^\circ \neq \beta$
Orthorhombic	4	$a_1 \neq a_2 \neq a_3$ $\alpha = \beta = \gamma = 90^\circ$
Tetragonal	2	$a_1 = a_2 \neq a_3$ $\alpha = \beta = \gamma = 90^\circ$
Cubic	3	$a_1 = a_2 = a_3$ $\alpha = \beta = \gamma = 90^\circ$
Trigonal	1	$a_1 = a_2 = a_3$ $\alpha = \beta = \gamma < 120^\circ, \neq 90^\circ$
Hexagonal	1	$a_1 = a_2 \neq a_3$ $\alpha = \beta = 90^\circ$ $\gamma = 120^\circ$

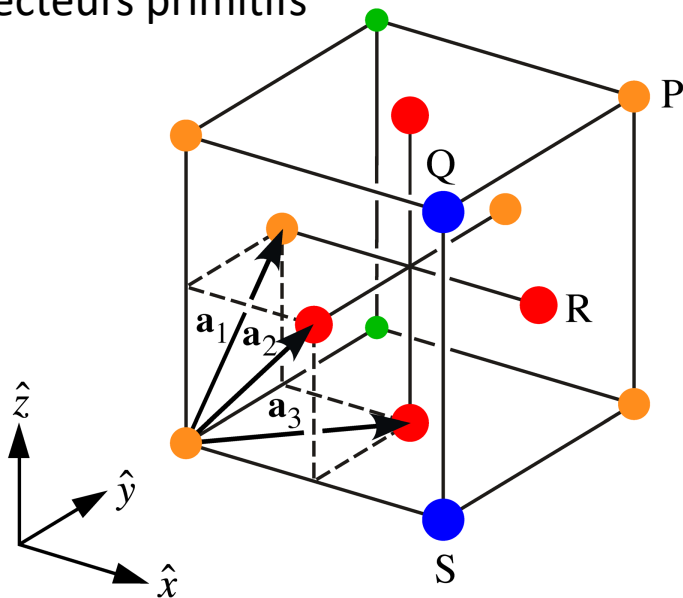
le cristal est formé en ajoutant à chaque point du réseau de Bravais la **base**

cubique face centrée (fcc – face centered cubic)

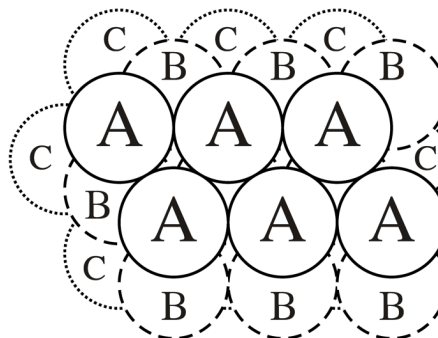
le cube est une **cellule conventionnelle**
elle contient $6 \times \frac{1}{2} + 8 \times \frac{1}{4} = 4$ atomes



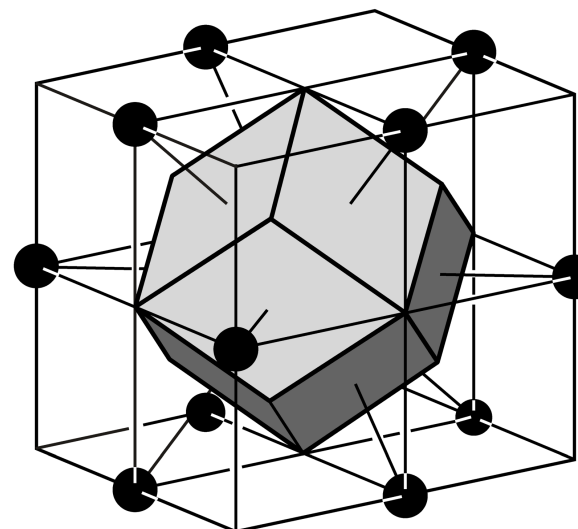
les vecteurs primitifs



empilement ABC selon [111]
de premiers voisins 6 dans le plan (111), 3 au dessus, 3 au dessous, donc **12**
c'est le **nombre de coordination**



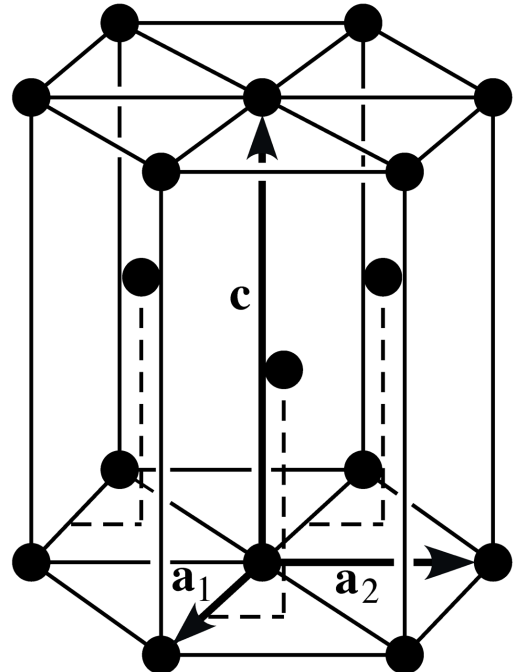
cellule de Wigner Seitz



hexagonale compacte (hcp – hexagonal closed packed)

deux réseaux de Bravais hexagonaux,
intercalés et déplacés de $\frac{2}{3} \mathbf{a}_1 + \frac{1}{3} \mathbf{a}_2 + \frac{1}{2} \mathbf{c}$

empilement ABA selon [001]
nombre de coordination 12



hcp idéale $c = 1.633 a$

Crystal	c/a	Crystal	c/a	Crystal	c/a
He	1.633	Zn	1.861	Zr	1.594
Be	1.581	Cd	1.886	Gd	1.592
Mg	1.623	Co	1.622	Lu	1.586
Ti	1.586	Y	1.570		

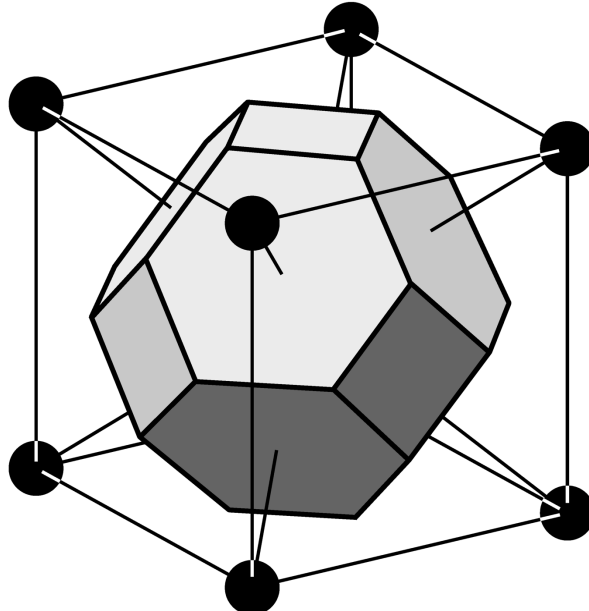
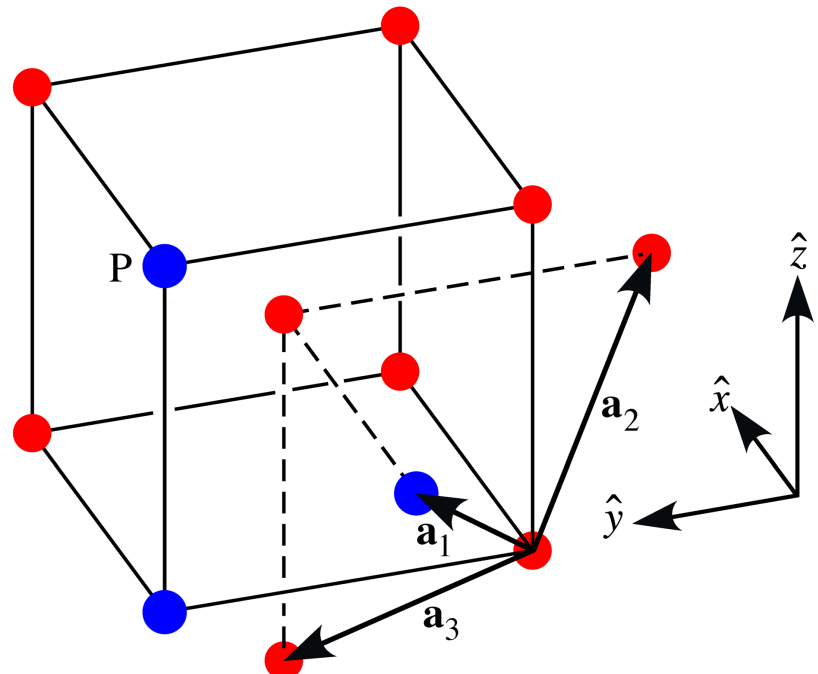
c cubique centré (bcc – body centered cubic)

nombre de coordination 8

plus proches voisins sont à $\sqrt{3}/2 a$

deuxièmes voisins sont à a

Cellule de Wigner Seitz

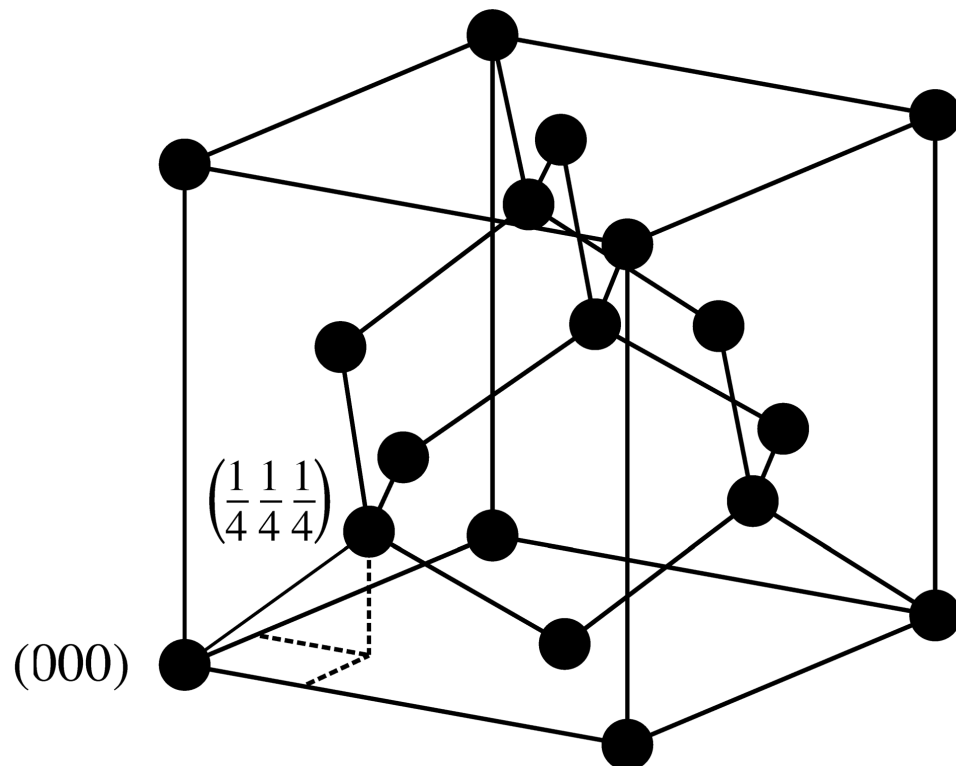


La structure diamant (dia)

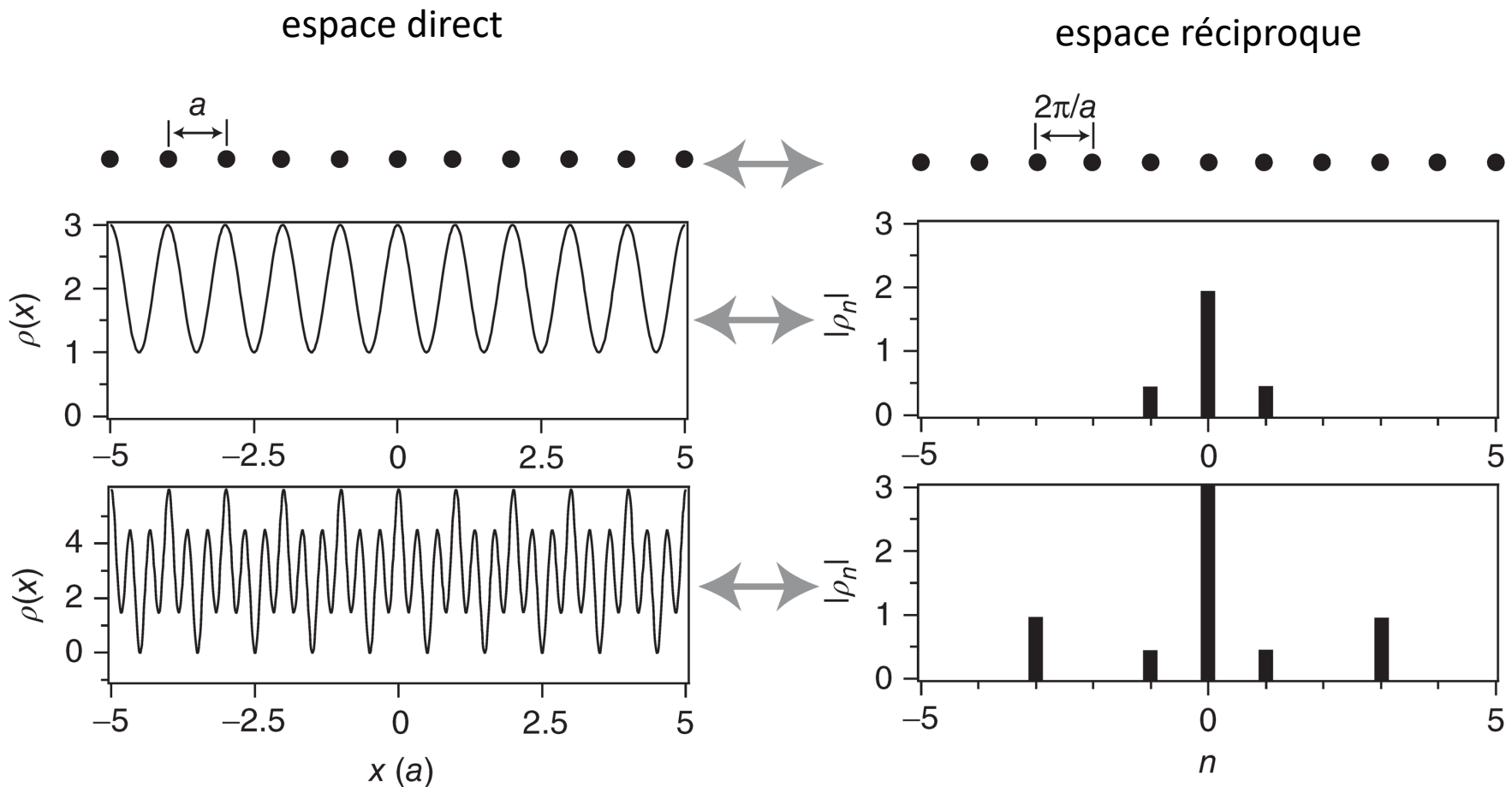
deux réseaux de Bravais fcc

déplacés de $(\frac{1}{4}, \frac{1}{4}, \frac{1}{4})$

nombre de coordination 4
tetragonale – hybridisation sp^3



Réseau réciproque 1D – 2 exemples pour $\rho(x)$

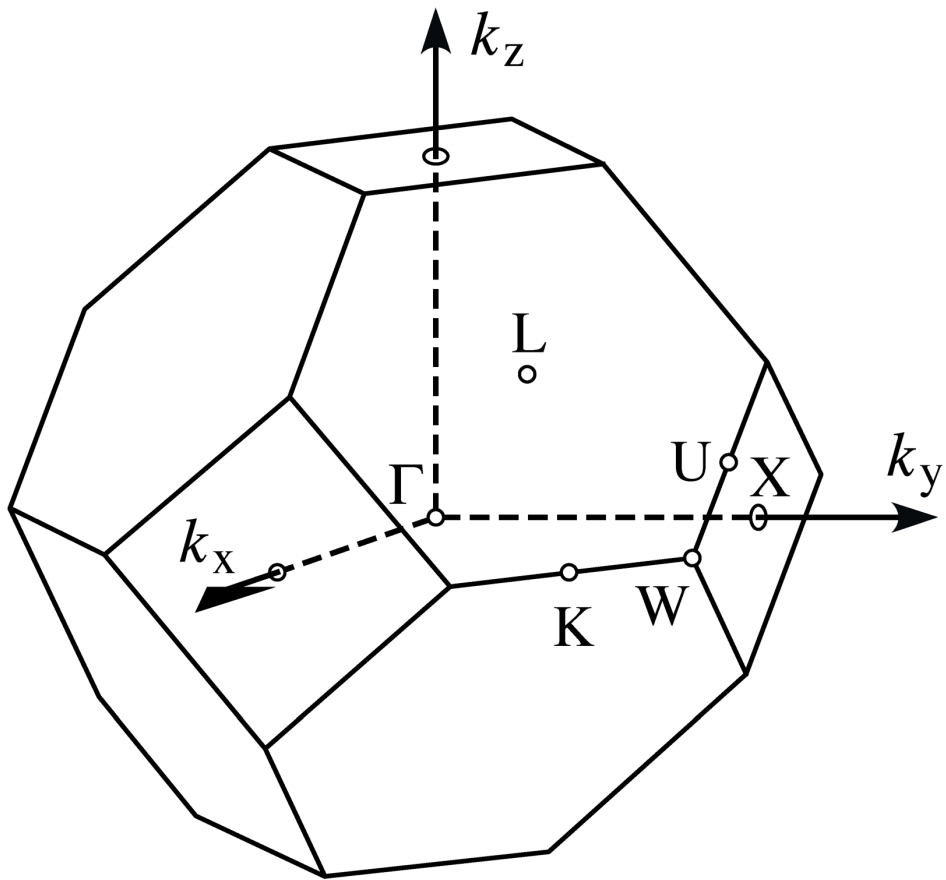


$$\rho(x) = \sum_{n=-\infty}^{\infty} \rho_n e^{ix \frac{n2\pi}{a}}$$

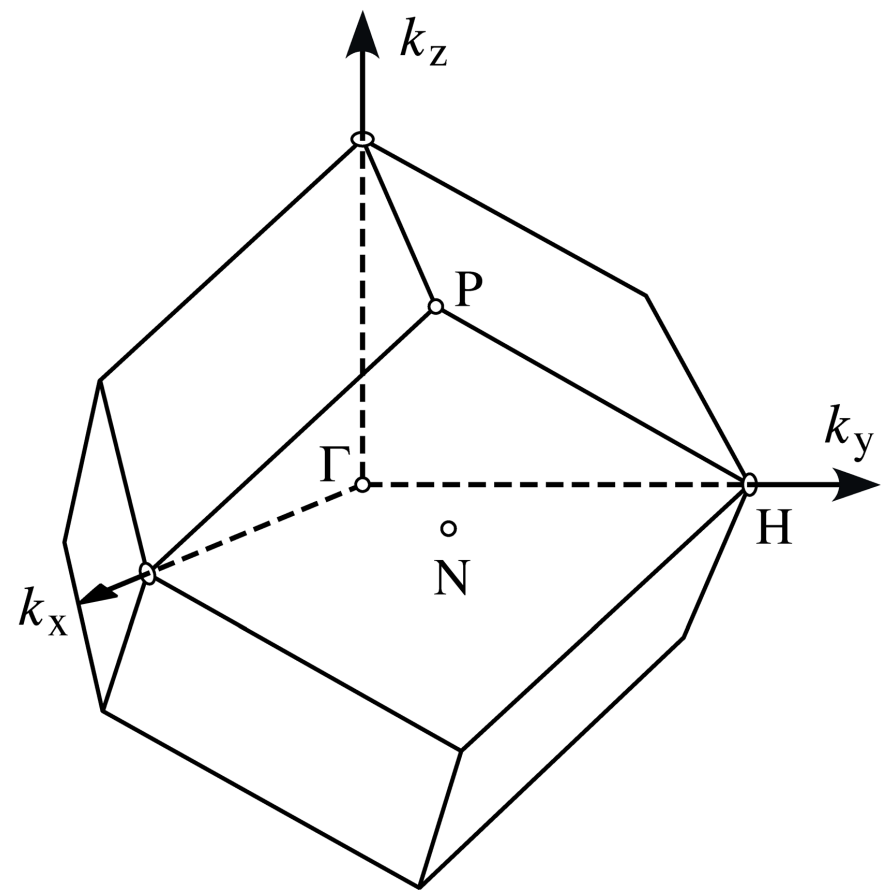
$$\rho_n = \rho_{-n}^*$$

1^{ère} zone de Brillouin d'un réseau fcc et bcc

fcc



bcc



Système d'indexation pour les plans cristallins

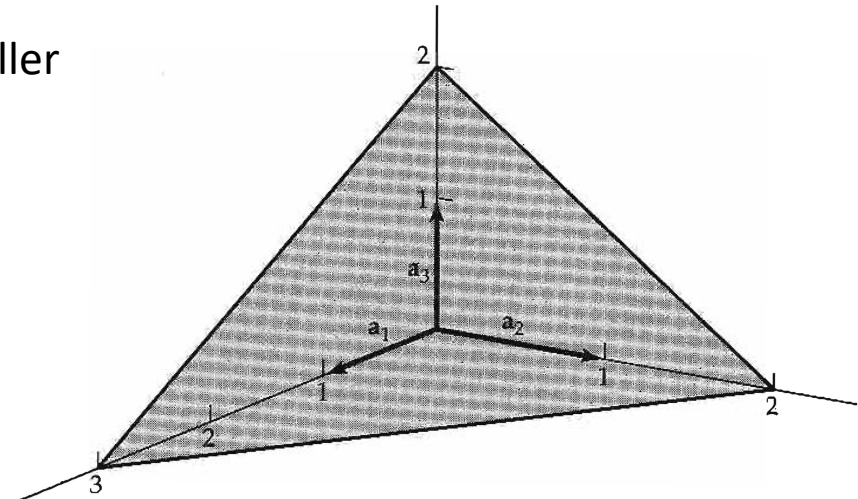
un plan coupe les axes \mathbf{a}_1 , \mathbf{a}_2 , et \mathbf{a}_3 par exemple en 3, 2, 2

l'inverse de ces chiffres est $\left(\frac{1}{3}, \frac{1}{2}, \frac{1}{2}\right)$

les plus petits nombres entiers avec le même rapport sont (2,3,3), on parle du plan (233)

Les chiffres hkl s'appellent les indices des Miller

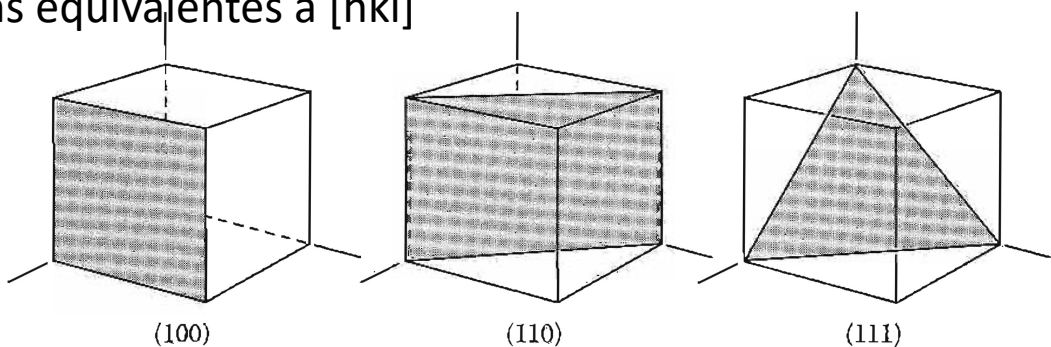
$\{hkl\}$ réfère à tous les plans avec une symétrie équivalente à un plan (hkl)
par exemple $\{100\}$ signifie les plans (100), (010), (001)



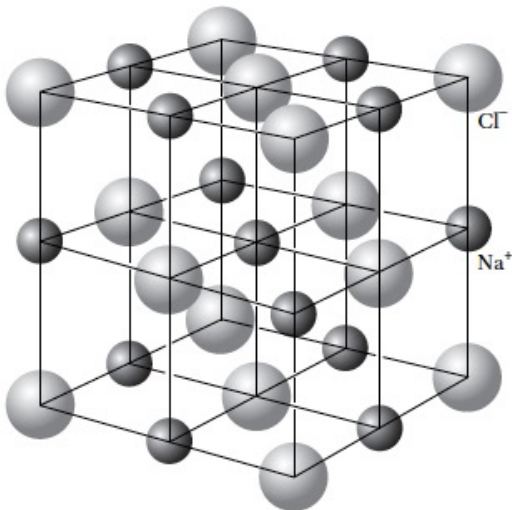
la direction $h\mathbf{a}_1, k\mathbf{a}_2, l\mathbf{a}_3$ s'écrit $[hkl]$

$\langle hkl \rangle$ est l'ensemble des directions équivalentes à $[hkl]$

dans un cristal cubique
la direction $[hkl]$ est la normale du plan (hkl)



Diffraction – facteur de forme atomique



nombre atomique (Z)

K 19

Cl 17

Br 35

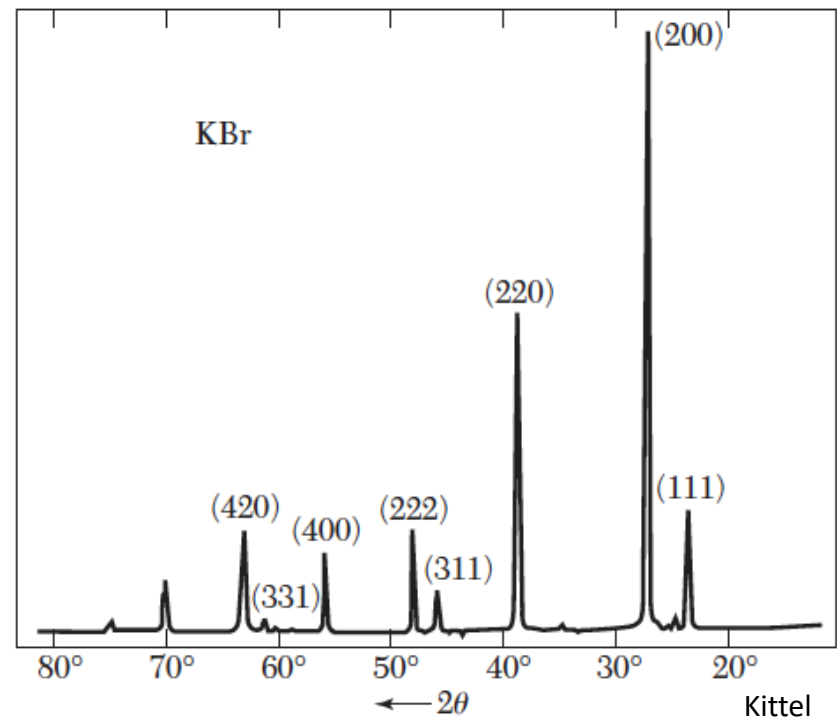
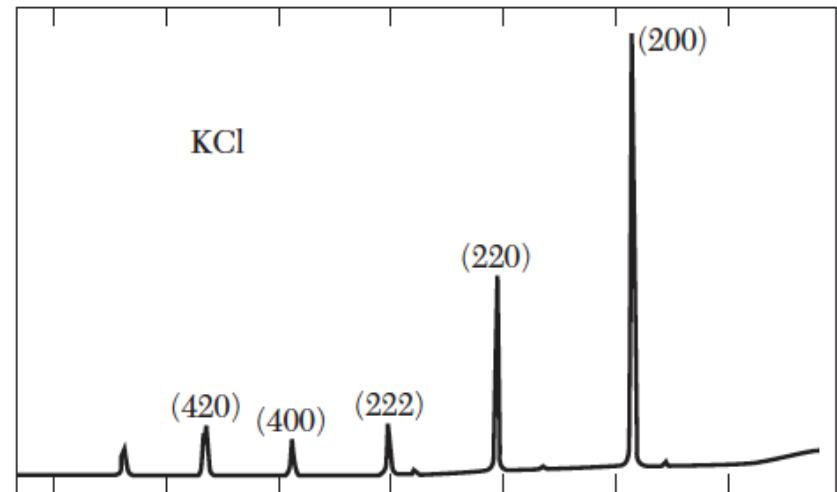


Figure 17 Comparison of x-ray reflections from KCl and KBr powders. In KCl the numbers of electrons of K^+ and Cl^- ions are equal. The scattering amplitudes $f(K^+)$ and $f(Cl^-)$ are almost exactly equal, so that the crystal looks to x-rays as if it were a monatomic simple cubic lattice of lattice constant $a/2$. Only even integers occur in the reflection indices when these are based on a cubic lattice of lattice constant a . In KBr the form factor of Br^- is quite different to that of K^+ , and all reflections of the fcc lattice are present. (Courtesy of R. van Nordstrand.)